

# Exercice : ligne d'influence d'une charge mobile sur une poutre continue à deux travées

On propose de mettre en évidence les lignes d'influence pour le moment sur l'appui central et pour le moment en travée, pour une poutre continue à deux travées.

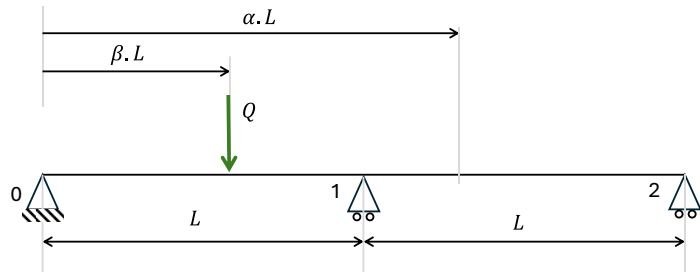
Cet exercice s'inspire de la ressource du CTICM (Palacios, s. d.) : « Lignes d'influence d'une charge mobile sur une poutre sur 3 appuis - Romain Palacios, chef de projets recherche, CTICM – Mai 2025 ». <https://metaletech.com/2025/04/28/lignes-d'influence-d'une-charge-mobile-sur-une-poutre-sur-3-appuis/>

## 1 Sujet

Soit une poutre continue de deux travées de longueur identique  $L$ .

Le module d'Young  $E$  et le moment quadratique  $I$  sont constants sur toute la poutre.

La poutre est soumise à une charge ponctuelle  $Q$ , appliquée à la distance  $\beta \cdot L$  de l'appui de gauche, avec  $0 \leq \beta \leq 2$ .



### Partie 1. Ligne d'influence pour le moment sur l'appui 1

1. Déterminer l'expression du moment  $M_1$  sur l'appui central en fonction de  $Q$ ,  $\beta$  et  $L$ .
2. Soit la fonction  $\mu_1(\beta)$  telle que  $M_1 = QL \cdot \mu_1(\beta)$ . Déterminer l'expression de  $\mu_1$  et tracer  $\mu_1$  en fonction de  $\beta$ .
3. Déterminer la valeur de  $\beta$  correspondant au maximum du moment  $M_1$

### Partie 2. Ligne d'influence pour le moment en travée

On se place dans la section  $x$  telle que  $x = \alpha \cdot L$ .

Seul varie le point d'application de la charge, point d'abscisse  $\beta \cdot L$  avec  $0 \leq \beta \leq 2$ .

1. Déterminer l'expression du moment fléchissant  $M$  en travée en fonction de  $Q$ ,  $\beta$  et  $L$ .
2. Soit la fonction  $\mu_2(\beta)$  telle que  $M = QL \cdot \mu_2(\beta)$ . Déterminer l'expression de  $\mu_2(\beta)$  et tracer  $\mu_2$  en fonction de  $\beta$ .
3. Déterminer la valeur de  $\beta$  correspondant au maximum du moment  $M$

### Partie 3. Synthèse

1. Conclure sur les deux positions d'une surcharge ponctuelle en travée 1, pour le moment sur appui central et le moment en travée.

## 2 Formulaire

Géométrie et chargement	$\Omega_A$	$\Omega_s$	flèche en $x=L/2$
	$-\frac{M_A L}{3EI}$	$\frac{M_A L}{6EI}$	$-\frac{M_A L^2}{16EI}$
	$-\frac{M_B L}{6EI}$	$\frac{M_B L}{3EI}$	$-\frac{M_B L^2}{16EI}$
	$-\frac{Pab(L+b)}{6EIL}$	$\frac{Pab(L+a)}{6EIL}$	

### 3 Correction

#### Partie 1. Ligne d'influence pour le moment sur l'appui 1

1/

- Pour  $0 \leq \beta \leq 1$  (charge sur la travée 1)

Théorème des trois moments sur l'appui central

$$M_0 \cdot L + 2M_1 \cdot 2L + M_2 \cdot L = 6EI \cdot (\Omega_d - \Omega_g)$$

$$M_0 = 0 ; M_2 = 0 ; \Omega_g = \frac{Q \cdot \beta L \cdot (L - \beta L) \cdot (L + \beta L)}{6EI L} ; \Omega_d = 0$$

$$M_1 = -\frac{6EI}{4L} \cdot \frac{Q \cdot \beta L \cdot (L - \beta L) \cdot (L + \beta L)}{6EI L}$$

Finalement,

$$M_1 = 0,25 \times Q \cdot \beta \cdot L \cdot (\beta^2 - 1)$$

- Pour  $1 \leq \beta \leq 2$  (charge sur la travée 2)

Théorème des trois moments sur l'appui central

$$M_0 \cdot L + 2M_1 \cdot 2L + M_2 \cdot L = 6EI \cdot (\Omega_d - \Omega_g)$$

$$M_0 = 0 ; M_2 = 0 ; \Omega_g = 0 ; \Omega_d = -\frac{-Q \cdot (L - \beta L) \cdot (2L - \beta \cdot L) \cdot (L + 2L - \beta \cdot L)}{6EI L}$$

Finalement,

$$M_1 = 0,25 \times QL \cdot (2 - \beta) \cdot (3 - 4\beta + \beta^2)$$

2/ On a

$$\begin{cases} \mu_1(\beta) = 0,25 \cdot \beta \cdot (\beta^2 - 1) & 0 \leq \beta \leq 1 \\ \mu_1(\beta) = 0,25 \cdot (2 - \beta) \cdot (3 - 4\beta + \beta^2) & 1 \leq \beta \leq 2 \end{cases}$$

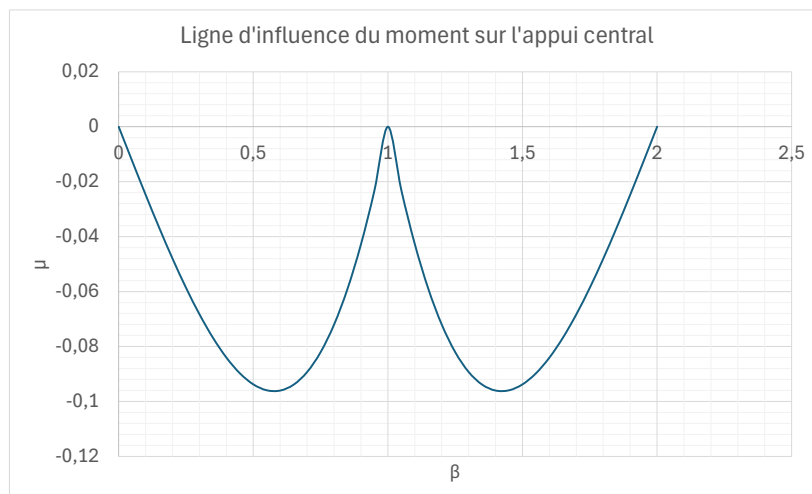


Figure 1. Ligne d'influence du moment sur l'appui central

3/ Valeur de  $\beta$  correspondant au maximum du moment  $M_1$

Pour  $0 \leq \beta \leq 1$

$$\frac{d\mu_1}{d\beta} = 0,25 \cdot (\beta^2 - 1) + 0,25 \cdot \beta \cdot 2\beta = 0,75\beta^2 - 0,25$$

$$\frac{d\mu_1}{d\beta} = 0 \Leftrightarrow \beta = \sqrt{\frac{0,25}{0,75}} \approx 0,577$$

Pour  $1 \leq \beta \leq 2$

$$\mu_1(\beta) = 0,25 \cdot (2 - \beta) \cdot (3 - 4\beta + \beta^2)$$

$$\frac{d\mu_1}{d\beta} = -0,25 \cdot (3 - 4\beta + \beta^2) + 0,25 \cdot (2 - \beta) \cdot (-4 + 2\beta)$$

$$\frac{d\mu_1}{d\beta} = 0 \Leftrightarrow \beta = 1,423$$

Remarque : par symétrie on pouvait deviner que le moment sur appui max est pour  $\beta = 0,577$  en partant de l'appui de droite, donc 1,423 en partant de l'appui de gauche.

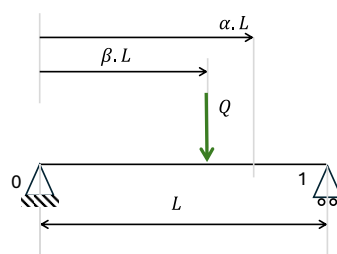
## Partie 2. Ligne d'influence pour le moment sur travée

1/ En travée 1

- Pour  $0 \leq \beta \leq \alpha$

$$M(\alpha \cdot L) = m_0(\alpha \cdot L) + M_1 \cdot \frac{\alpha \cdot L}{L}$$

Calcul de  $m_0(x)$  : c'est le moment fléchissant pour une charge ponctuelle située à la distance  $\beta \cdot L$  de l'appui 0, dans une section à droite du point d'application de la charge.



PFS

$$Y_0 + Y_1 - Q = 0$$

$$Y_1 \cdot L - Q \cdot \beta \cdot L = 0 \Rightarrow Y_1 = Q \cdot \beta$$

Donc

$$m_0(x) = Q \cdot \beta \cdot (L - \alpha \cdot L)$$

Donc pour  $x = \alpha \cdot L$

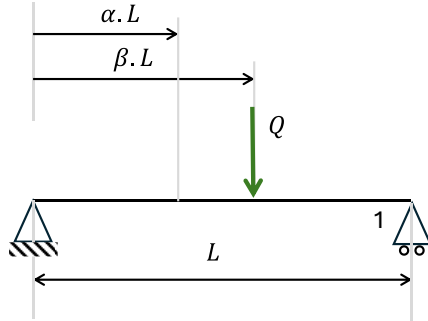
$$M = Q \cdot \beta \cdot (L - \alpha \cdot L) + M_1 \cdot \alpha$$

$$M = Q \cdot \beta \cdot L \cdot (1 - \alpha) + \mu_1 \cdot Q \cdot L \cdot \alpha = Q \cdot L \cdot (\beta \cdot (1 - \alpha) + 0,25 \cdot \alpha \cdot \beta \cdot (\beta^2 - 1))$$

- Pour  $\alpha \leq \beta \leq 1$

$$M(\alpha, L) = m_0(\alpha, L) + M_1 \cdot \frac{\alpha \cdot L}{L}$$

Calcul de  $m_0(x)$  : c'est le moment fléchissant pour une charge ponctuelle située à la distance  $\beta \cdot L$  de l'appui 0, dans une section à gauche du point d'application de la charge.



On a toujours  $Y_1 = Q \cdot \beta$

$$m_0(x) = Q \cdot \beta \cdot (L - \alpha \cdot L) - Q \cdot (\beta \cdot L - \alpha \cdot L) = Q \cdot L \cdot (\beta - \beta \cdot \alpha - \beta + \alpha) = Q \cdot L \cdot \alpha \cdot (1 - \beta)$$

Donc

$$M = Q \cdot \alpha \cdot L \cdot (1 - \beta) + \mu_1 \cdot Q \cdot L \cdot \alpha = Q \cdot L \cdot (\alpha \cdot (1 - \beta) + \mu_1 \cdot \alpha)$$

$$M = Q \cdot L \cdot (\alpha \cdot (1 - \beta) + 0,25 \cdot \beta \cdot (\beta^2 - 1) \cdot \alpha)$$

- Pour  $1 \leq \beta \leq 2$

$$M = m_0(x) + M_1 \cdot \frac{x}{L} = M_1 \cdot \frac{x}{L}$$

On est toujours dans la travée 1, c'est la charge qui est passée dans la travée 2. La travée 1 n'est plus chargée donc  $m_0(x) = 0$ .

$$M = QL \cdot \mu_1 \cdot \alpha = QL \cdot \alpha \cdot 0,25 \cdot (2 - \beta) \cdot (3 - 4\beta + \beta^2)$$

Finalement

$$\mu_2(\alpha; \beta) = \begin{cases} \beta \cdot (1 - \alpha) + 0,25 \cdot \alpha \cdot \beta \cdot (\beta^2 - 1) & \text{pour } 0 \leq \beta \leq \alpha \\ \alpha \cdot (1 - \beta) + 0,25 \cdot \alpha \cdot \beta \cdot (\beta^2 - 1) & \text{pour } \alpha \leq \beta \leq 1 \\ \alpha \cdot 0,25 \cdot (2 - \beta) \cdot (3 - 4\beta + \beta^2) & \text{pour } 1 \leq \beta \leq 2 \end{cases}$$

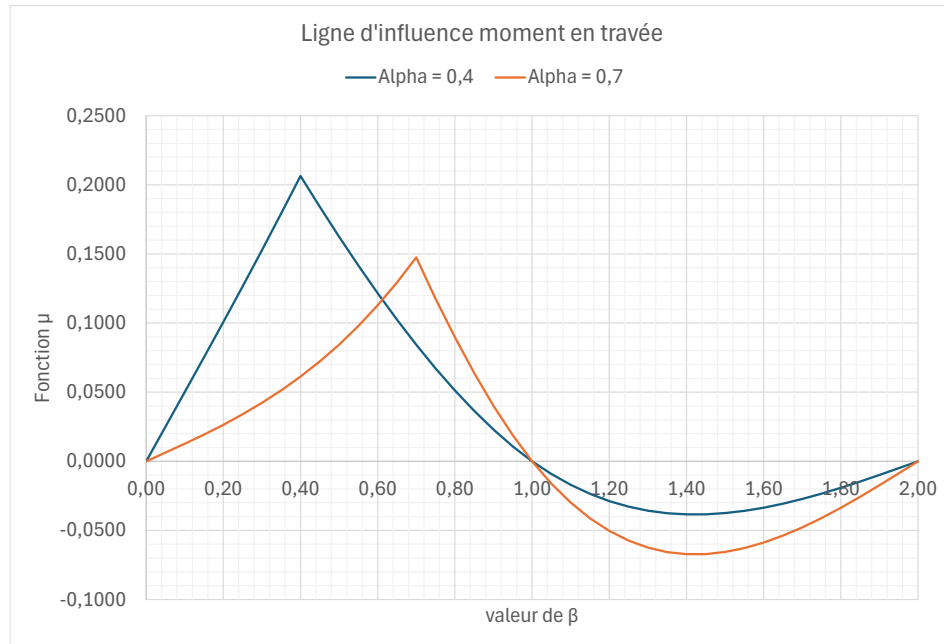


Figure 2. Ligne d'influence du moment dans la travée 1. Exemple pour deux valeurs de  $\alpha$

### 3/ Valeur de $\beta$ correspondant au maximum du moment $M$

Le moment fléchissant dû à la charge ponctuelle  $Q$  est maximal au point d'application de la force  $Q$ , donc pour  $\alpha = \beta$ .

Ainsi, dans la travée 1,

$$M_{max} = Q \cdot L \cdot [\beta \cdot (1 - \beta) + 0,25 \cdot \beta^2 \cdot (\beta^2 - 1)]$$

Ce moment est tracé en vert ci-dessous.

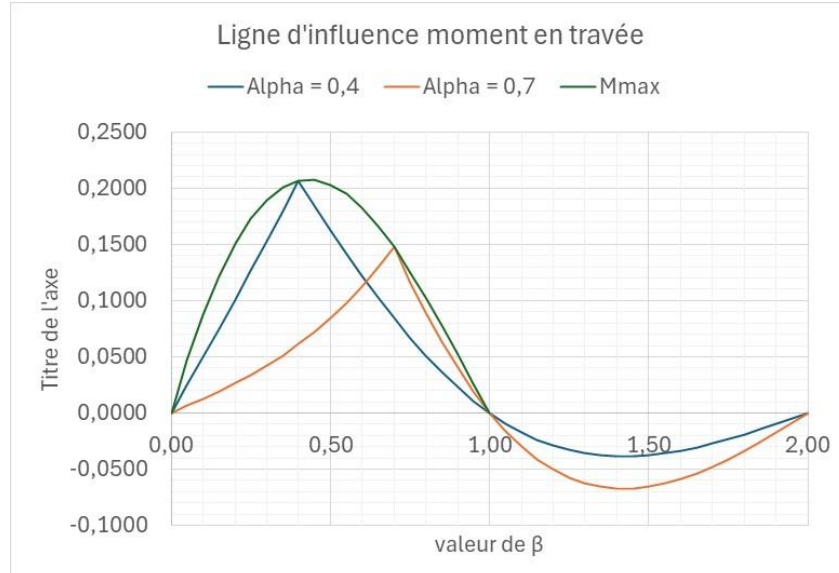


Figure 3. En vert, moment en travée lorsque la charge ponctuelle  $Q$  est appliquée dans la section étudiée (Moment maximal en travée)

Ce moment atteint sa valeur maximale pour  $\beta$  tel que

$$\frac{dM_{max}}{d\beta} = Q \cdot L \cdot [(1 - \beta) - \beta^2 + 0,5 \cdot \beta \cdot (\beta^2 - 1) + 0,5 \cdot \beta^3] = 0$$

$$\frac{dM_{max}}{d\beta} = 0 \Leftrightarrow 1 - \beta - \beta^2 + 0,5 \cdot \beta^3 - 0,5\beta + 0,5 \cdot \beta^3 = \beta^3 - \beta^2 - 1,5 \cdot \beta + 1 = 0$$

La seule racine possible de cette équation est 0,432 car  $\beta$  doit être compris entre 0 et 1 (effort dans la travée 1).

### Partie 3. Conclusion

Finalement

- Le moment max sur l'appui central est atteint quand  $\beta = 0,577$ .
- Le moment max en travée est atteint quand  $\beta = 0,432$ .

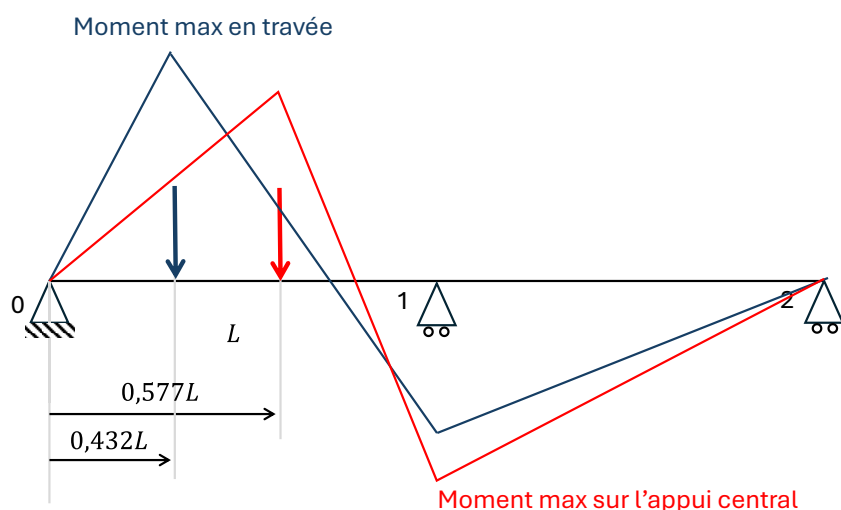


Figure 4. Cas donnant le moment maximal sur appui et le moment maximal en travée (Palacios, s. d.)

## 4 Références

Goulet, J., Boutin, J.-P., & Lerouge, F. (2019). *Résistance des matériaux* (10<sup>e</sup> éd.). Dunod : Editions le Moniteur.

Palacios, R. (s. d.). *Lignes d'influence d'une charge mobile sur une poutre sur 3 appuis—CTICM—Mai 2025*. <https://metaletech.com/2025/04/28/lignes-d-influence-d-une-charge-mobile-sur-une-poutre-sur-3-appuis/>

## 5 Pour aller plus loin

Voir (Goulet et al., 2019, p. 126)